

### Eingabe: Farbmimetrisches Reflexions-System NRS11

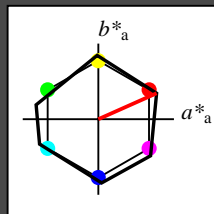
für Buntton  $h^* = lab^*h = 24/360 = 0.067$

LAB\*LCH, LAB\*NCH

D65: Buntton R

LCH\*Ma: 53 84 24

olv\*Ma: 1.0 0.0 0.0



#### NRS11; adaptierte CIELAB-Daten

	$L^*=L_a^*$	$a_a^*$	$b_a^*$	$C_{ab,a}^*$	$h_{ab,a}^*$
R <sub>Ma</sub>	53.2	77.06	34.32	84.36	24
J <sub>Ma</sub>	53.2	-1.51	84.38	84.39	91
G <sub>Ma</sub>	53.2	-82.27	18.98	84.44	167
G50B <sub>Ma</sub>	53.2	-77.72	-32.98	84.44	203
B <sub>Ma</sub>	53.2	4.37	-84.28	84.41	273
B50R <sub>Ma</sub>	53.2	69.09	-48.41	84.37	325
N <sub>Ma</sub>	10.99	0.0	0.0	0.0	0
W <sub>Ma</sub>	95.41	0.0	0.0	0.0	0
R <sub>CIE</sub>	39.92	58.69	27.98	65.01	25
J <sub>CIE</sub>	81.26	-2.9	71.56	71.62	92
G <sub>CIE</sub>	52.23	-42.45	13.59	44.59	162
B <sub>CIE</sub>	30.57	1.35	-46.48	46.51	272

CIELAB-Helligkeit  $L^*$

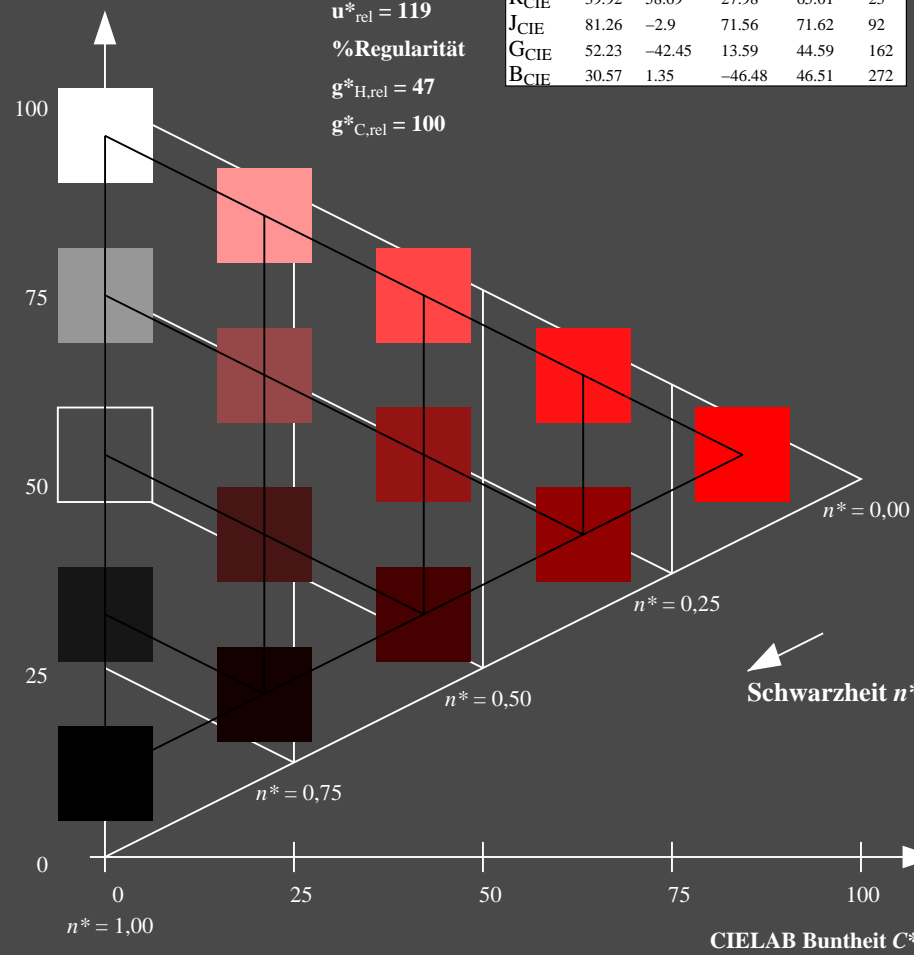
%Umfang

$u_{rel}^* = 119$

%Regularität

$g_{H,rel}^* = 47$

$g_{C,rel}^* = 100$



TG370-7, 5 stufige Reihen für konstanten CIELAB Buntton 24/360 = 0.067 (links)

### Ausgabe: Farbmimetrisches Reflexions-System ORS18

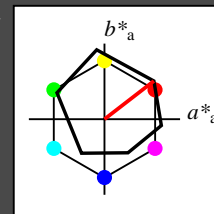
für Buntton  $h^* = lab^*h = 38/360 = 0.105$

LAB\*LCH, LAB\*NCH

D65: Buntton O

LCH\*Ma: 48 83 38

olv\*Ma: 1.0 0.0 0.0



#### ORS18; adaptierte CIELAB-Daten

	$L^*=L_a^*$	$a_a^*$	$b_a^*$	$C_{ab,a}^*$	$h_{ab,a}^*$
O <sub>Ma</sub>	47.94	65.37	50.52	82.62	38
Y <sub>Ma</sub>	90.37	-10.27	91.77	92.34	96
L <sub>Ma</sub>	50.9	-62.79	34.95	71.87	151
C <sub>Ma</sub>	58.62	-30.35	-45.01	54.3	236
V <sub>Ma</sub>	25.71	31.11	-44.42	54.24	305
M <sub>Ma</sub>	48.13	75.27	-8.35	75.73	354
N <sub>Ma</sub>	18.01	0.0	0.0	0.0	0
W <sub>Ma</sub>	95.41	0.0	0.0	0.0	0
R <sub>CIE</sub>	39.92	58.66	26.98	64.56	25
J <sub>CIE</sub>	81.26	-2.17	67.76	67.79	92
G <sub>CIE</sub>	52.23	-42.26	11.75	43.87	164
B <sub>CIE</sub>	30.57	1.15	-46.84	46.87	271

CIELAB-Helligkeit  $L^*$

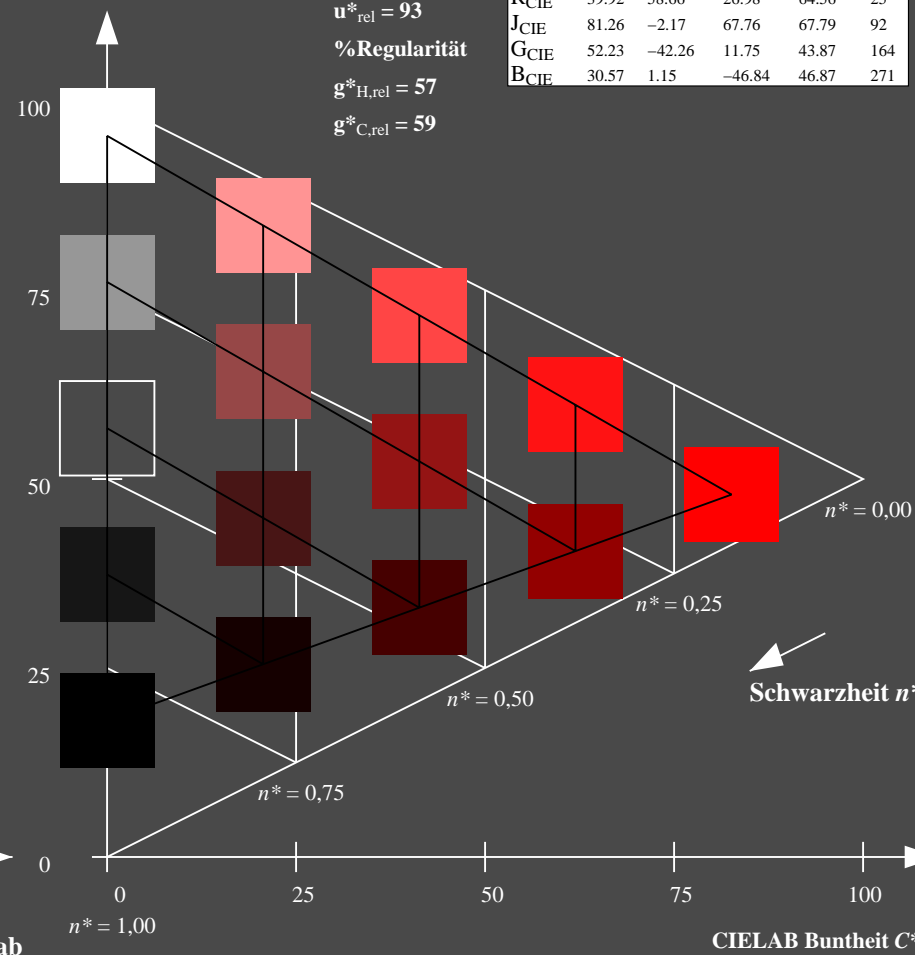
%Umfang

$u_{rel}^* = 93$

%Regularität

$g_{H,rel}^* = 57$

$g_{C,rel}^* = 59$



5 stufige Reihen für konstanten CIELAB Buntton 38/360 = 0.105 (rechts)

BAM-Prüfvorlage TG37; Farbmimetrische Systeme NRS11 & ORS18 input: olv\* setrgbcolor

D65: Koordinaten-Systeme von 5stufigen Farbreihen für 10 Buntton input: olv\* setrgbcolor / w\* setgray

## Eingabe: Farbmimetrisches Reflexions-System NRS11

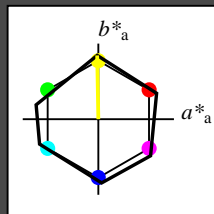
für Buntton  $h^* = lab^*h = 91/360 = 0.253$

LAB\*LCH, LAB\*NCH

D65: Buntton J

LCH\*Ma: 53 84 91

olv\*Ma: 1.0 1.0 0.0



### NRS11; adaptierte CIELAB-Daten

	$L^*=L_a^*$	$a_a^*$	$b_a^*$	$C_{ab,a}^*$	$h_{ab,a}^*$
R <sub>Ma</sub>	53.2	77.06	34.32	84.36	24
J <sub>Ma</sub>	53.2	-1.51	84.38	84.39	91
G <sub>Ma</sub>	53.2	-82.27	18.98	84.44	167
G50B <sub>Ma</sub>	53.2	-77.72	-32.98	84.44	203
B <sub>Ma</sub>	53.2	4.37	-84.28	84.41	273
B50R <sub>Ma</sub>	53.2	69.09	-48.41	84.37	325
N <sub>Ma</sub>	10.99	0.0	0.0	0.0	0
W <sub>Ma</sub>	95.41	0.0	0.0	0.0	0
R <sub>CIE</sub>	39.92	58.69	27.98	65.01	25
J <sub>CIE</sub>	81.26	-2.9	71.56	71.62	92
G <sub>CIE</sub>	52.23	-42.45	13.59	44.59	162
B <sub>CIE</sub>	30.57	1.35	-46.48	46.51	272

CIELAB-Helligkeit  $L^*$

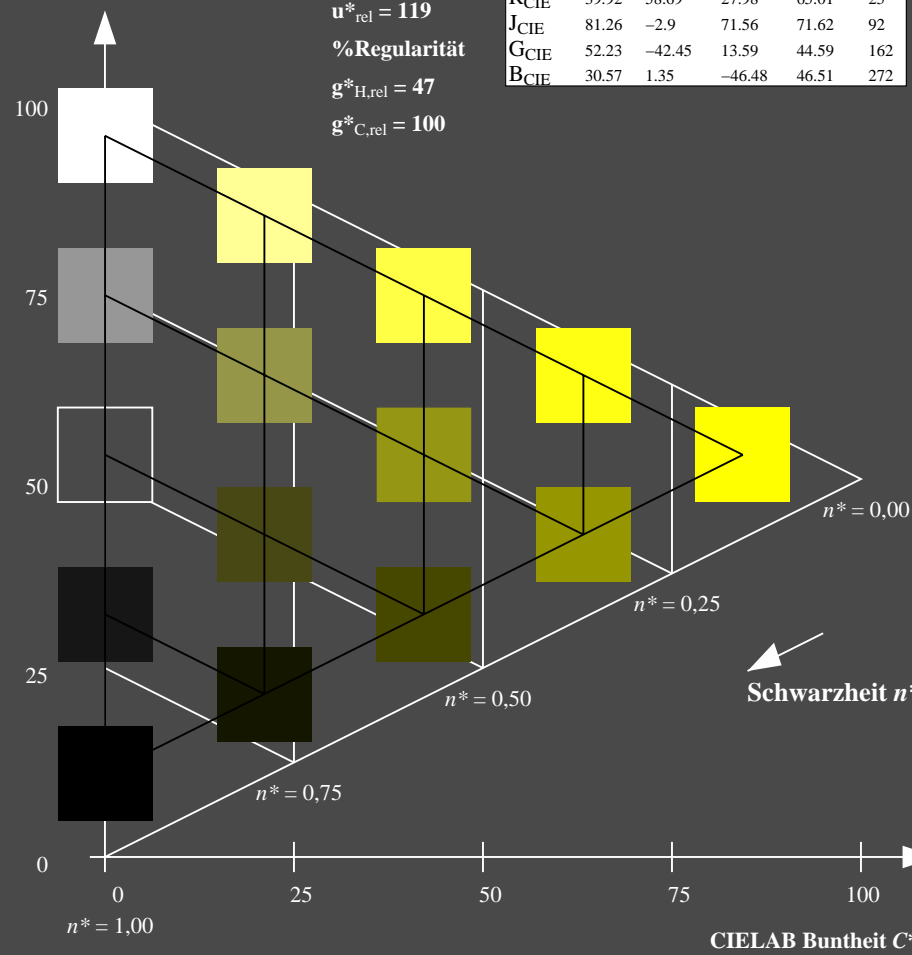
%Umfang

$u_{rel}^* = 119$

%Regularität

$g_{H,rel}^* = 47$

$g_{C,rel}^* = 100$



TG370-7, 5 stufige Reihen für konstanten CIELAB Buntton 91/360 = 0.253 (links)

## Ausgabe: Farbmimetrisches Reflexions-System ORS18

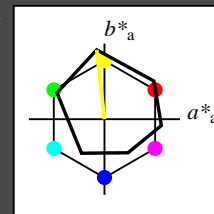
für Buntton  $h^* = lab^*h = 96/360 = 0.268$

LAB\*LCH, LAB\*NCH

D65: Buntton Y

LCH\*Ma: 90 92 96

olv\*Ma: 1.0 1.0 0.0



### ORS18; adaptierte CIELAB-Daten

	$L^*=L_a^*$	$a_a^*$	$b_a^*$	$C_{ab,a}^*$	$h_{ab,a}^*$
O <sub>Ma</sub>	47.94	65.37	50.52	82.62	38
Y <sub>Ma</sub>	90.37	-10.27	91.77	92.34	96
L <sub>Ma</sub>	50.9	-62.79	34.95	71.87	151
C <sub>Ma</sub>	58.62	-30.35	-45.01	54.3	236
V <sub>Ma</sub>	25.71	31.11	-44.42	54.24	305
M <sub>Ma</sub>	48.13	75.27	-8.35	75.73	354
N <sub>Ma</sub>	18.01	0.0	0.0	0.0	0
W <sub>Ma</sub>	95.41	0.0	0.0	0.0	0
R <sub>CIE</sub>	39.92	58.66	26.98	64.56	25
J <sub>CIE</sub>	81.26	-2.17	67.76	67.79	92
G <sub>CIE</sub>	52.23	-42.26	11.75	43.87	164
B <sub>CIE</sub>	30.57	1.15	-46.84	46.87	271

CIELAB-Helligkeit  $L^*$

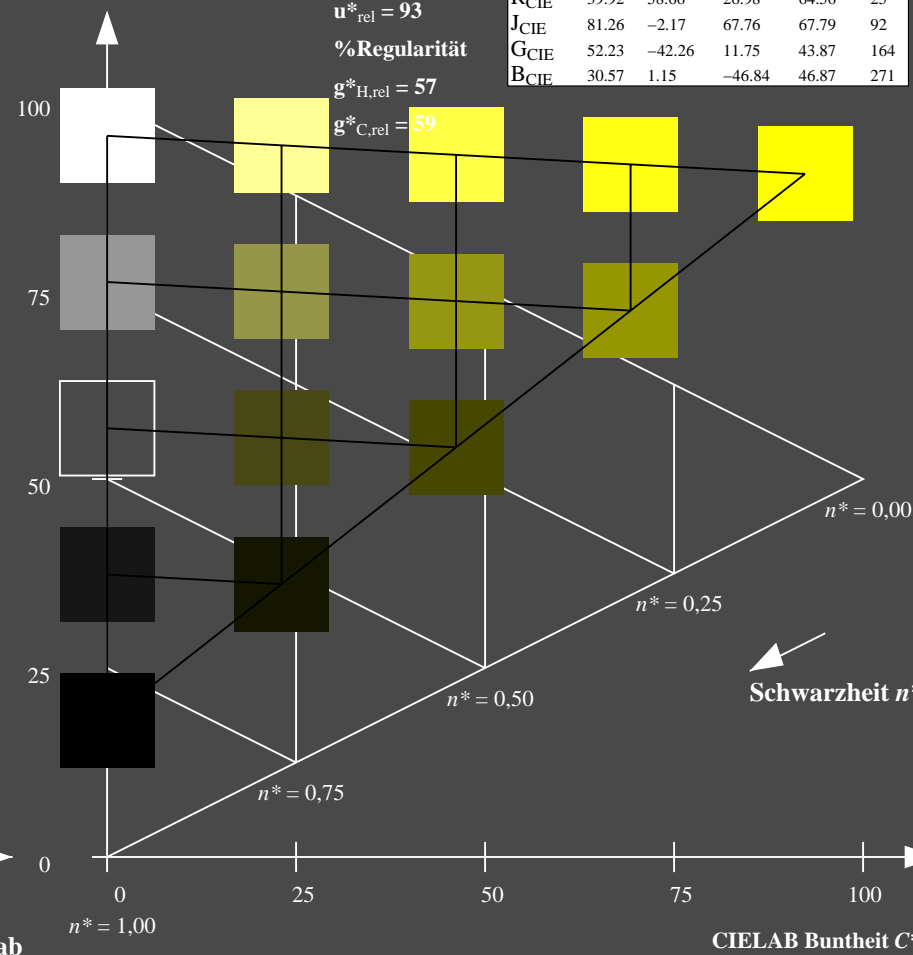
%Umfang

$u_{rel}^* = 93$

%Regularität

$g_{H,rel}^* = 57$

$g_{C,rel}^* = 59$



5 stufige Reihen für konstanten CIELAB Buntton 96/360 = 0.268 (rechts)

BAM-Prüfvorlage TG37; Farbmimetrische Systeme NRS11 & ORS18 input: olv\* setrgbcolor

D65: Koordinaten-Systeme von 5stufigen Farbreihen für 10 Bunttoninput: olv\* setrgbcolor / w\* setgray

## Eingabe: Farbmimetrisches Reflexions-System NRS11

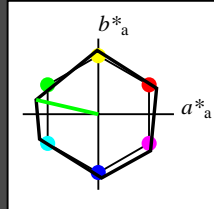
für Buntton  $h^* = lab^*h = 167/360 = 0.464$

LAB\*LCH, LAB\*NCH

D65: Buntton G

LCH\*Ma: 53 84 167

olv\*Ma: 0.0 1.0 0.0



NRS11; adaptierte CIELAB-Daten					
	$L^*=L^*_a$	$a^*_a$	$b^*_a$	$C^*_{ab,a}$	$h^*_{ab,a}$
R <sub>Ma</sub>	53.2	77.06	34.32	84.36	24
J <sub>Ma</sub>	53.2	-1.51	84.38	84.39	91
G <sub>Ma</sub>	53.2	-82.27	18.98	84.44	167
G50B <sub>Ma</sub>	53.2	-77.72	-32.98	84.44	203
B <sub>Ma</sub>	53.2	4.37	-84.28	84.41	273
B50R <sub>Ma</sub>	53.2	69.09	-48.41	84.37	325
N <sub>Ma</sub>	10.99	0.0	0.0	0.0	0
W <sub>Ma</sub>	95.41	0.0	0.0	0.0	0
R <sub>CIE</sub>	39.92	58.69	27.98	65.01	25
J <sub>CIE</sub>	81.26	-2.9	71.56	71.62	92
G <sub>CIE</sub>	52.23	-42.45	13.59	44.59	162
B <sub>CIE</sub>	30.57	1.35	-46.48	46.51	272

CIELAB-Helligkeit  $L^*$

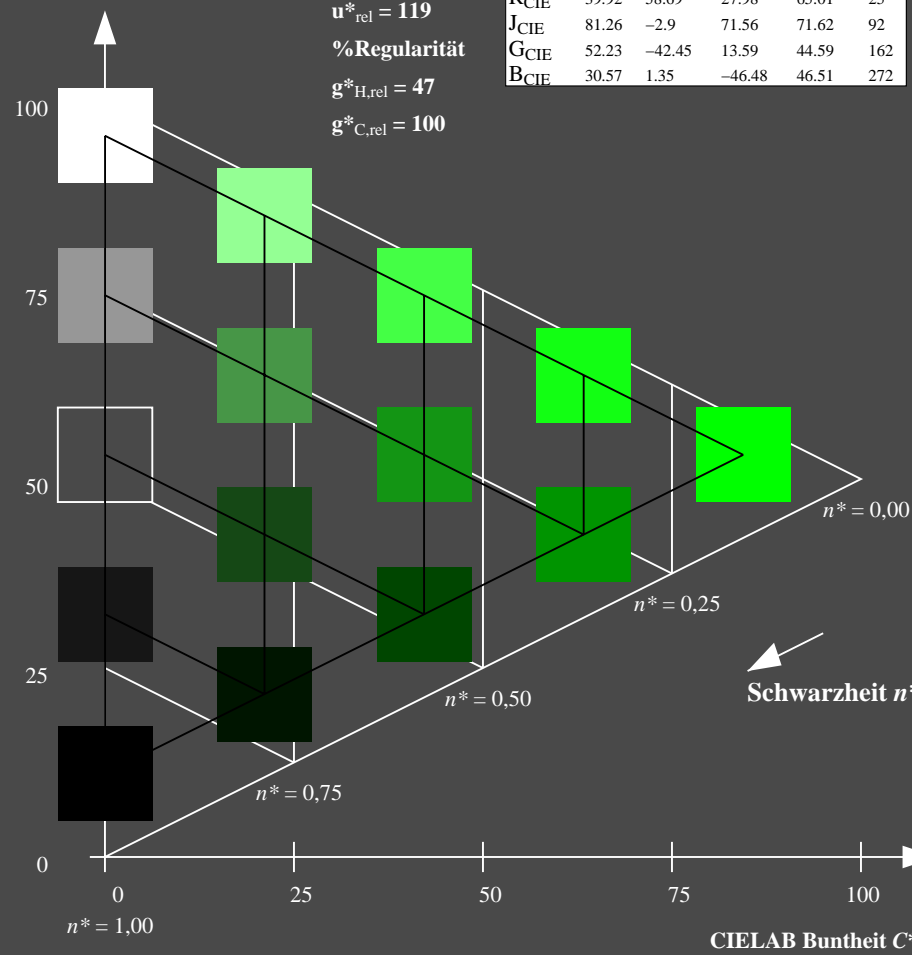
%Umfang

$u^*_{rel} = 119$

%Regularität

$g^*_{H,rel} = 47$

$g^*_{C,rel} = 100$



TG370-7, 5 stufige Reihen für konstanten CIELAB Buntton 167/360 = 0.464 (links)

## Ausgabe: Farbmimetrisches Reflexions-System ORS18

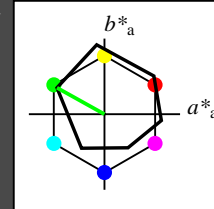
für Buntton  $h^* = lab^*h = 151/360 = 0.419$

LAB\*LCH, LAB\*NCH

D65: Buntton L

LCH\*Ma: 51 72 151

olv\*Ma: 0.0 1.0 0.0



ORS18; adaptierte CIELAB-Daten					
	$L^*=L^*_a$	$a^*_a$	$b^*_a$	$C^*_{ab,a}$	$h^*_{ab,a}$
O <sub>Ma</sub>	47.94	65.37	50.52	82.62	38
Y <sub>Ma</sub>	90.37	-10.27	91.77	92.34	96
L <sub>Ma</sub>	50.9	-62.79	34.95	71.87	151
C <sub>Ma</sub>	58.62	-30.35	-45.01	54.3	236
V <sub>Ma</sub>	25.71	31.11	-44.42	54.24	305
M <sub>Ma</sub>	48.13	75.27	-8.35	75.73	354
N <sub>Ma</sub>	18.01	0.0	0.0	0.0	0
W <sub>Ma</sub>	95.41	0.0	0.0	0.0	0
R <sub>CIE</sub>	39.92	58.66	26.98	64.56	25
J <sub>CIE</sub>	81.26	-2.17	67.76	67.79	92
G <sub>CIE</sub>	52.23	-42.26	11.75	43.87	164
B <sub>CIE</sub>	30.57	1.15	-46.84	46.87	271

CIELAB-Helligkeit  $L^*$

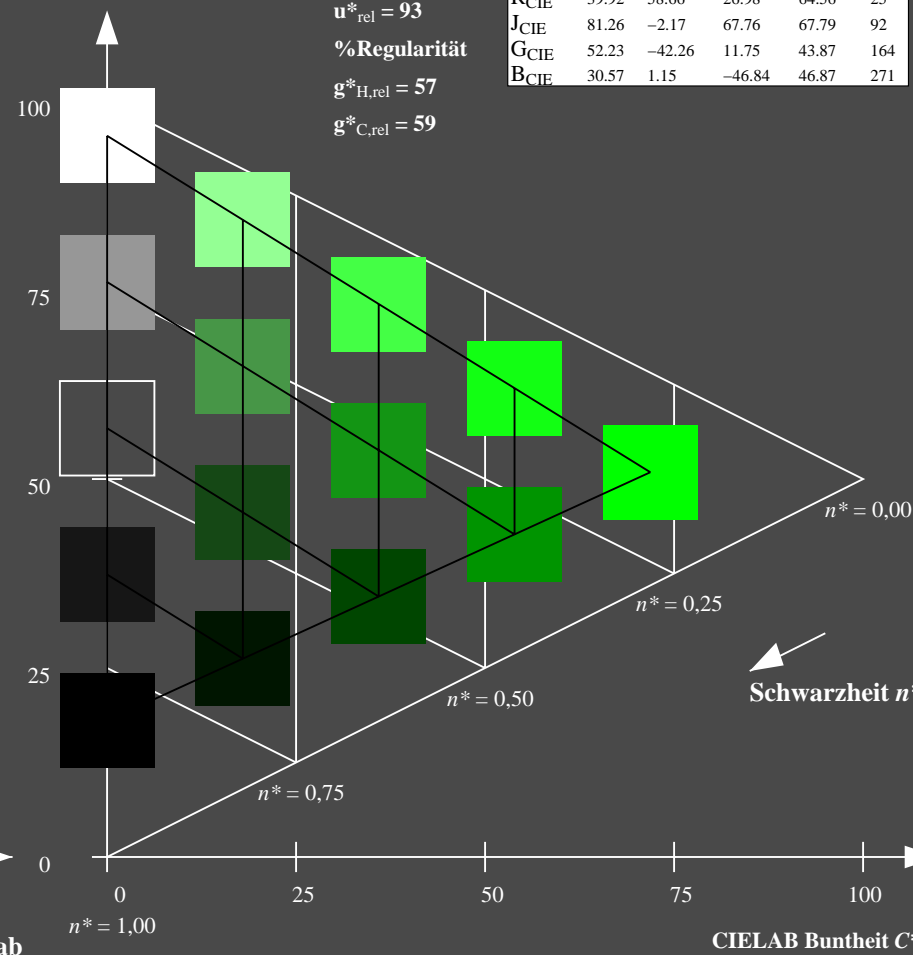
%Umfang

$u^*_{rel} = 93$

%Regularität

$g^*_{H,rel} = 57$

$g^*_{C,rel} = 59$



5 stufige Reihen für konstanten CIELAB Buntton 151/360 = 0.419 (rechts)

BAM-Prüfvorlage TG37; Farbmimetrik-Systeme NRS11 & ORS18 input: olv\* setrgbcolor

D65: Koordinaten-Systeme von 5stufigen Farbreihen für 10 Buntton input: olv\* setrgbcolor / w\* setgray

### Eingabe: Farbmimetrisches Reflexions-System NRS11

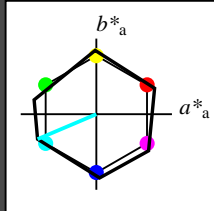
für Buntton  $h^* = lab \cdot h = 203/360 = 0.564$

LAB\*LCH, LAB\*NCH

D65: Buntton G50B

LCH\*Ma: 53 84 203

olv\*Ma: 0.0 1.0 1.0



#### NRS11; adaptierte CIELAB-Daten

	$L^*=L_a^*$	$a_a^*$	$b_a^*$	$C_{ab,a}^*$	$h_{ab,a}^*$
R <sub>Ma</sub>	53.2	77.06	34.32	84.36	24
J <sub>Ma</sub>	53.2	-1.51	84.38	84.39	91
G <sub>Ma</sub>	53.2	-82.27	18.98	84.44	167
G50B <sub>Ma</sub>	53.2	-77.72	-32.98	84.44	203
B <sub>Ma</sub>	53.2	4.37	-84.28	84.41	273
B50R <sub>Ma</sub>	53.2	69.09	-48.41	84.37	325
N <sub>Ma</sub>	10.99	0.0	0.0	0.0	0
W <sub>Ma</sub>	95.41	0.0	0.0	0.0	0
R <sub>CIE</sub>	39.92	58.69	27.98	65.01	25
J <sub>CIE</sub>	81.26	-2.9	71.56	71.62	92
G <sub>CIE</sub>	52.23	-42.45	13.59	44.59	162
B <sub>CIE</sub>	30.57	1.35	-46.48	46.51	272

CIELAB-Helligkeit  $L^*$

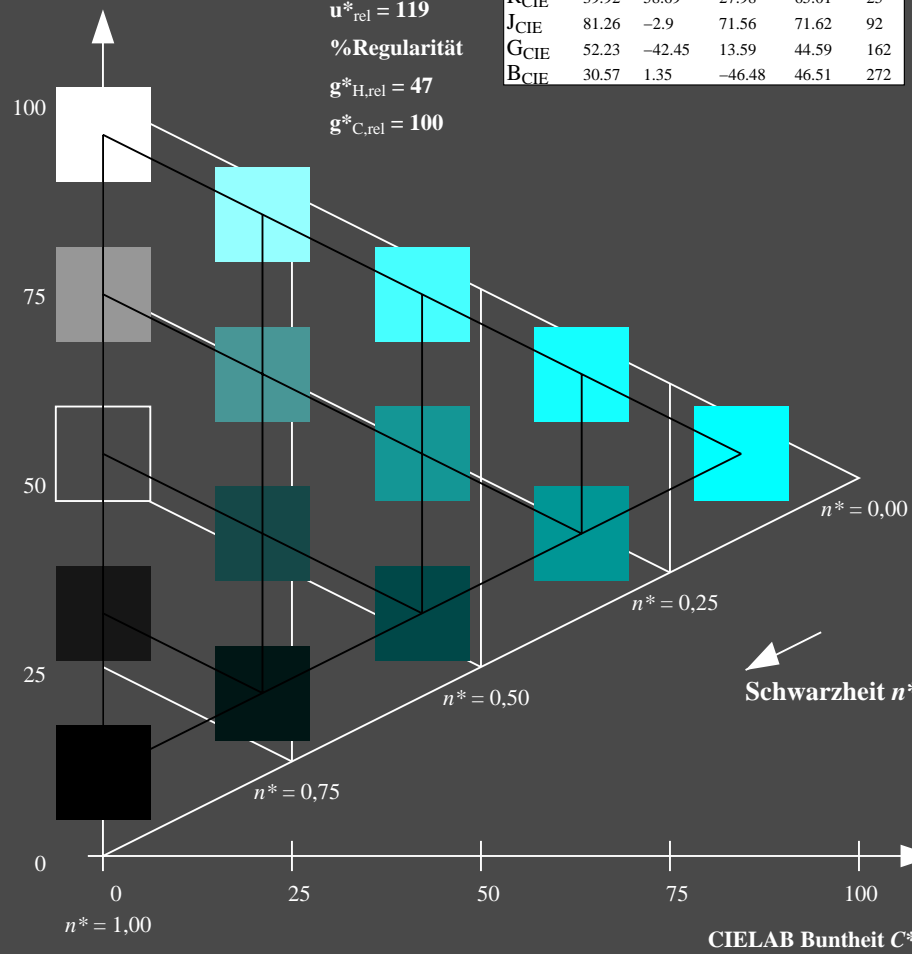
%Umfang

$u_{rel}^* = 119$

%Regularität

$g_{H,rel}^* = 47$

$g_{C,rel}^* = 100$



TG370-7, 5-stufige Reihen für konstanten CIELAB Buntton 203/360 = 0.564 (links)

### Ausgabe: Farbmimetrisches Reflexions-System ORS18

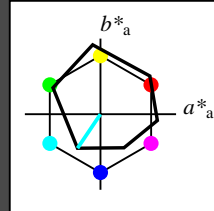
für Buntton  $h^* = lab \cdot h = 236/360 = 0.656$

LAB\*LCH, LAB\*NCH

D65: Buntton C

LCH\*Ma: 59 54 236

olv\*Ma: 0.0 1.0 1.0



#### ORS18; adaptierte CIELAB-Daten

	$L^*=L_a^*$	$a_a^*$	$b_a^*$	$C_{ab,a}^*$	$h_{ab,a}^*$
O <sub>Ma</sub>	47.94	65.37	50.52	82.62	38
Y <sub>Ma</sub>	90.37	-10.27	91.77	92.34	96
L <sub>Ma</sub>	50.9	-62.79	34.95	71.87	151
C <sub>Ma</sub>	58.62	-30.35	-45.01	54.3	236
V <sub>Ma</sub>	25.71	31.11	-44.42	54.24	305
M <sub>Ma</sub>	48.13	75.27	-8.35	75.73	354
N <sub>Ma</sub>	18.01	0.0	0.0	0.0	0
W <sub>Ma</sub>	95.41	0.0	0.0	0.0	0
R <sub>CIE</sub>	39.92	58.66	26.98	64.56	25
J <sub>CIE</sub>	81.26	-2.17	67.76	67.79	92
G <sub>CIE</sub>	52.23	-42.26	11.75	43.87	164
B <sub>CIE</sub>	30.57	1.15	-46.84	46.87	271

CIELAB-Helligkeit  $L^*$

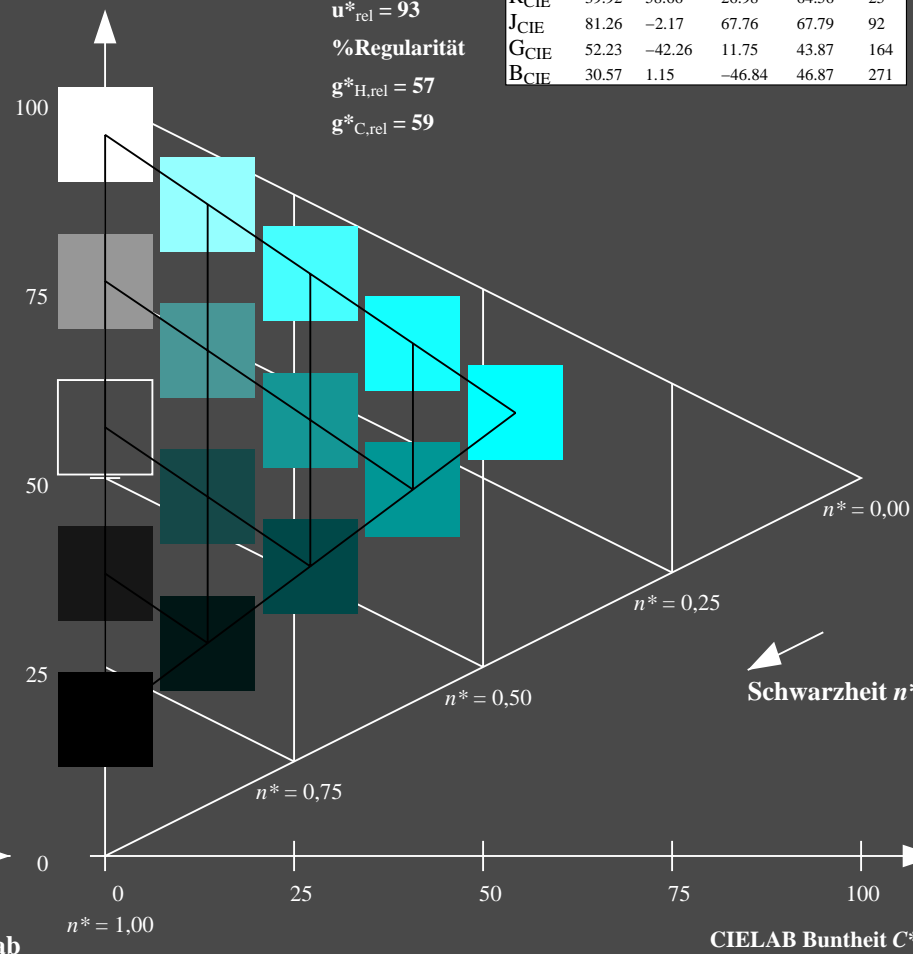
%Umfang

$u_{rel}^* = 93$

%Regularität

$g_{H,rel}^* = 57$

$g_{C,rel}^* = 59$



5-stufige Reihen für konstanten CIELAB Buntton 236/360 = 0.656 (rechts)

BAM-Prüfvorlage TG37; Farbmimetrik-Systeme NRS11 & ORS18 input: olv\* setrgbcolor

D65: Koordinaten-Systeme von 5stufigen Farbreihen für 10 Buntton input: olv\* setrgbcolor / w\* setgray



### Eingabe: Farbmimetrisches Reflexions-System NRS11

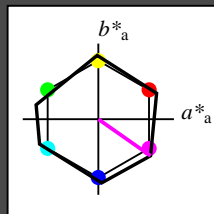
für Buntton  $h^* = lab \cdot h = 325/360 = 0.903$

LAB\*LCH, LAB\*NCH

D65: Buntton B50R

LCH\*Ma: 53 84 325

olv\*Ma: 1.0 0.0 1.0



#### NRS11; adaptierte CIELAB-Daten

	$L^*=L^*_a$	$a^*_a$	$b^*_a$	$C^*_{ab,a}$	$h^*_{ab,a}$
R <sub>Ma</sub>	53.2	77.06	34.32	84.36	24
J <sub>Ma</sub>	53.2	-1.51	84.38	84.39	91
G <sub>Ma</sub>	53.2	-82.27	18.98	84.44	167
G50B <sub>Ma</sub>	53.2	-77.72	-32.98	84.44	203
B <sub>Ma</sub>	53.2	4.37	-84.28	84.41	273
B50R <sub>Ma</sub>	53.2	69.09	-48.41	84.37	325
N <sub>Ma</sub>	10.99	0.0	0.0	0.0	0
W <sub>Ma</sub>	95.41	0.0	0.0	0.0	0
R <sub>CIE</sub>	39.92	58.69	27.98	65.01	25
J <sub>CIE</sub>	81.26	-2.9	71.56	71.62	92
G <sub>CIE</sub>	52.23	-42.45	13.59	44.59	162
B <sub>CIE</sub>	30.57	1.35	-46.48	46.51	272

CIELAB-Helligkeit  $L^*$

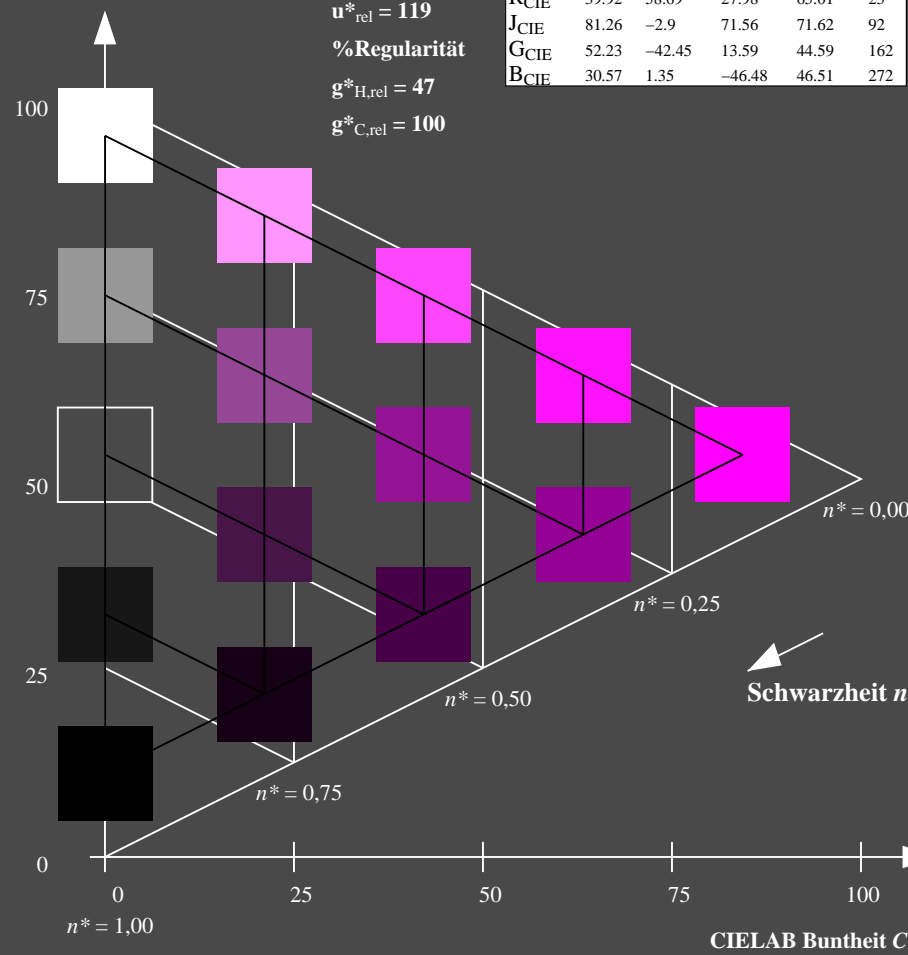
%Umfang

$u^*_{rel} = 119$

%Regularität

$g^*_{H,rel} = 47$

$g^*_{C,rel} = 100$



### Ausgabe: Farbmimetrisches Reflexions-System ORS18

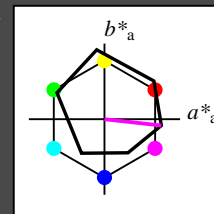
für Buntton  $h^* = lab \cdot h = 354/360 = 0.982$

LAB\*LCH, LAB\*NCH

D65: Buntton M

LCH\*Ma: 48 76 354

olv\*Ma: 1.0 0.0 1.0



#### ORS18; adaptierte CIELAB-Daten

	$L^*=L^*_a$	$a^*_a$	$b^*_a$	$C^*_{ab,a}$	$h^*_{ab,a}$
O <sub>Ma</sub>	47.94	65.37	50.52	82.62	38
Y <sub>Ma</sub>	90.37	-10.27	91.77	92.34	96
L <sub>Ma</sub>	50.9	-62.79	34.95	71.87	151
C <sub>Ma</sub>	58.62	-30.35	-45.01	54.3	236
V <sub>Ma</sub>	25.71	31.11	-44.42	54.24	305
M <sub>Ma</sub>	48.13	75.27	-8.35	75.73	354
N <sub>Ma</sub>	18.01	0.0	0.0	0.0	0
W <sub>Ma</sub>	95.41	0.0	0.0	0.0	0
R <sub>CIE</sub>	39.92	58.66	26.98	64.56	25
J <sub>CIE</sub>	81.26	-2.17	67.76	67.79	92
G <sub>CIE</sub>	52.23	-42.26	11.75	43.87	164
B <sub>CIE</sub>	30.57	1.15	-46.84	46.87	271

CIELAB-Helligkeit  $L^*$

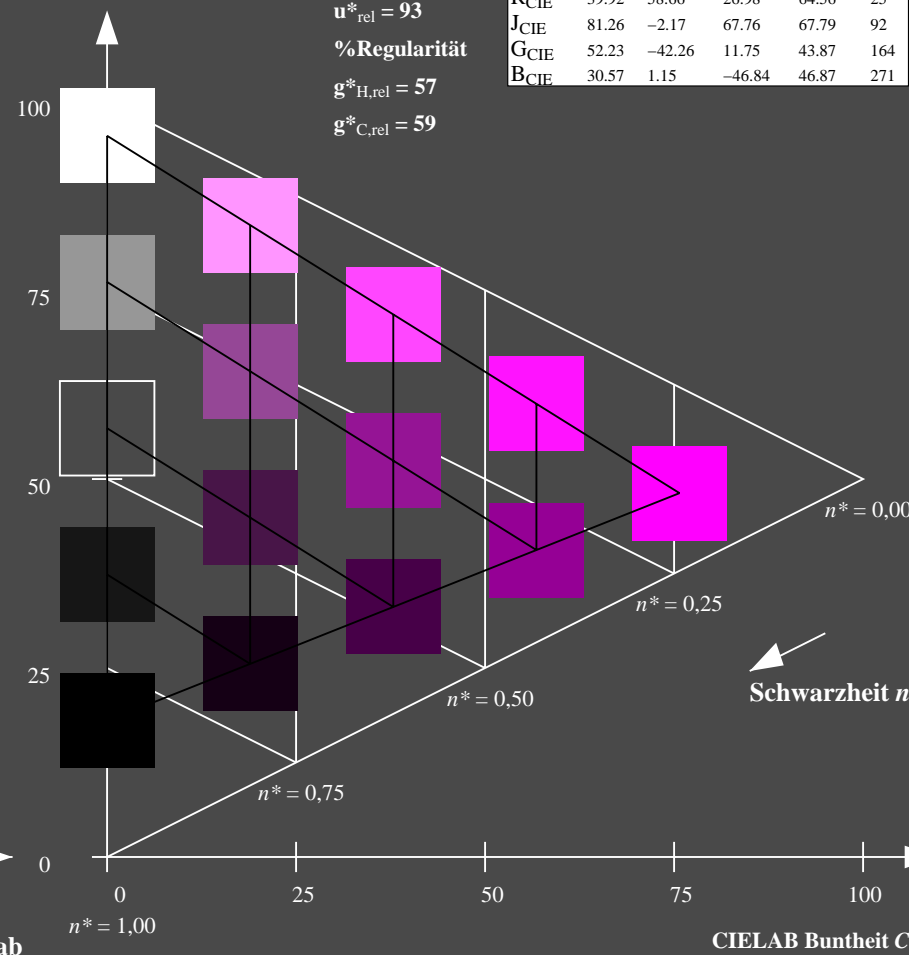
%Umfang

$u^*_{rel} = 93$

%Regularität

$g^*_{H,rel} = 57$

$g^*_{C,rel} = 59$



TG370-7, 5 stufige Reihen für konstanten CIELAB Buntton 325/360 = 0.903 (links)

5 stufige Reihen für konstanten CIELAB Buntton 354/360 = 0.982 (rechts)

BAM-Prüfvorlage TG37; Farbmimetrische Systeme NRS11 & ORS18 input: olv\* setrgbcolor

D65: Koordinaten-Systeme von 5stufigen Farbreihen für 10 Buntton input: olv\* setrgbcolor / w\* setgray



### Eingabe: Farbmimetrisches Reflexions-System NRS11

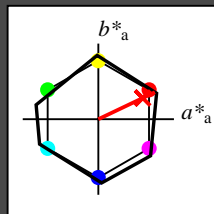
für Buntton  $h^* = lab^*h = 25/360 = 0.071$

LAB\*LCH, LAB\*NCH

D65: Buntton R

LCH\*Ma: 53 83 25

olv\*Ma: 1.0 0.03 0.0



NRS11; adaptierte CIELAB-Daten					
	$L^*=L^*_a$	$a^*_a$	$b^*_a$	$C^*_{ab,a}$	$h^*_{ab,a}$
R <sub>Ma</sub>	53.2	77.06	34.32	84.36	24
J <sub>Ma</sub>	53.2	-1.51	84.38	84.39	91
G <sub>Ma</sub>	53.2	-82.27	18.98	84.44	167
G50B <sub>Ma</sub>	53.2	-77.72	-32.98	84.44	203
B <sub>Ma</sub>	53.2	4.37	-84.28	84.41	273
B50R <sub>Ma</sub>	53.2	69.09	-48.41	84.37	325
N <sub>Ma</sub>	10.99	0.0	0.0	0.0	0
W <sub>Ma</sub>	95.41	0.0	0.0	0.0	0
R <sub>CIE</sub>	39.92	58.69	27.98	65.01	25
J <sub>CIE</sub>	81.26	-2.9	71.56	71.62	92
G <sub>CIE</sub>	52.23	-42.45	13.59	44.59	162
B <sub>CIE</sub>	30.57	1.35	-46.48	46.51	272

CIELAB-Helligkeit  $L^*$

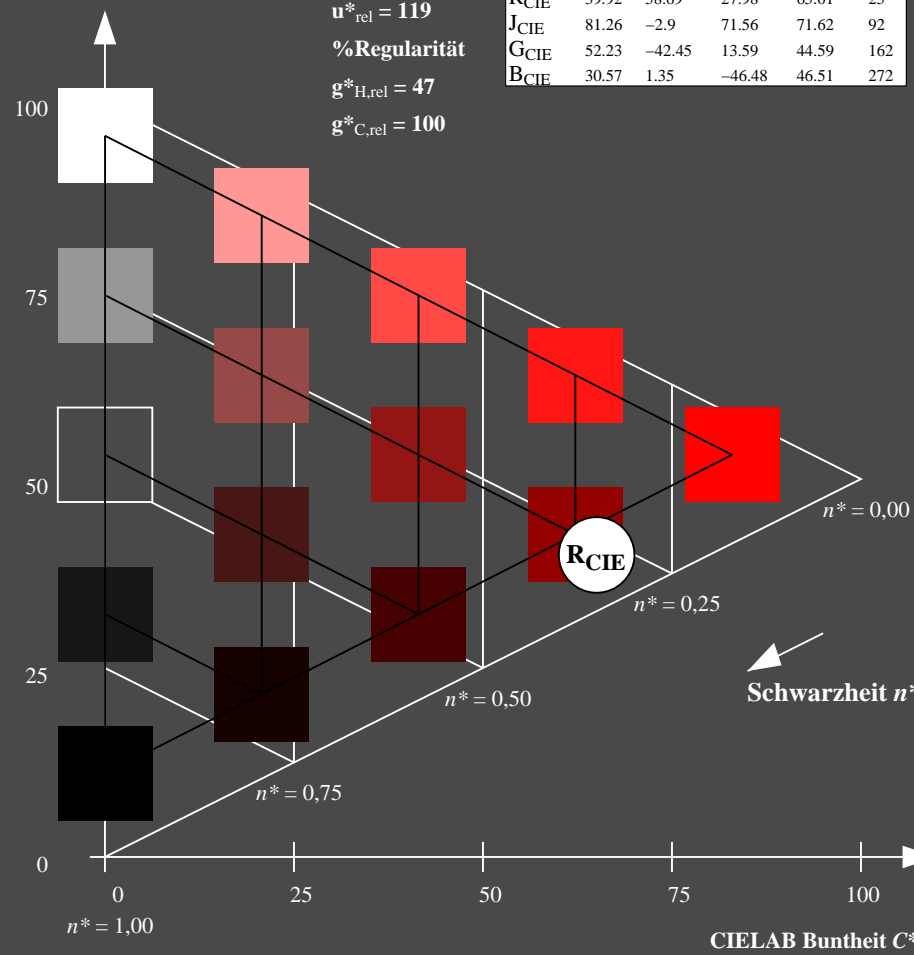
%Umfang

$u^*_{rel} = 119$

%Regularität

$g^*_{H,rel} = 47$

$g^*_{C,rel} = 100$



TG370-7, 5 stufige Reihen für konstanten CIELAB Buntton 25/360 = 0.071 (links)

### Ausgabe: Farbmimetrisches Reflexions-System ORS18

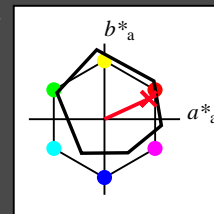
für Buntton  $h^* = lab^*h = 25/360 = 0.069$

LAB\*LCH, LAB\*NCH

D65: Buntton R

LCH\*Ma: 48 75 25

olv\*Ma: 1.0 0.0 0.32



ORS18; adaptierte CIELAB-Daten					
	$L^*=L^*_a$	$a^*_a$	$b^*_a$	$C^*_{ab,a}$	$h^*_{ab,a}$
O <sub>Ma</sub>	47.94	65.37	50.52	82.62	38
Y <sub>Ma</sub>	90.37	-10.27	91.77	92.34	96
L <sub>Ma</sub>	50.9	-62.79	34.95	71.87	151
C <sub>Ma</sub>	58.62	-30.35	-45.01	54.3	236
V <sub>Ma</sub>	25.71	31.11	-44.42	54.24	305
M <sub>Ma</sub>	48.13	75.27	-8.35	75.73	354
N <sub>Ma</sub>	18.01	0.0	0.0	0.0	0
W <sub>Ma</sub>	95.41	0.0	0.0	0.0	0
R <sub>CIE</sub>	39.92	58.66	26.98	64.56	25
J <sub>CIE</sub>	81.26	-2.17	67.76	67.79	92
G <sub>CIE</sub>	52.23	-42.26	11.75	43.87	164
B <sub>CIE</sub>	30.57	1.15	-46.84	46.87	271

CIELAB-Helligkeit  $L^*$

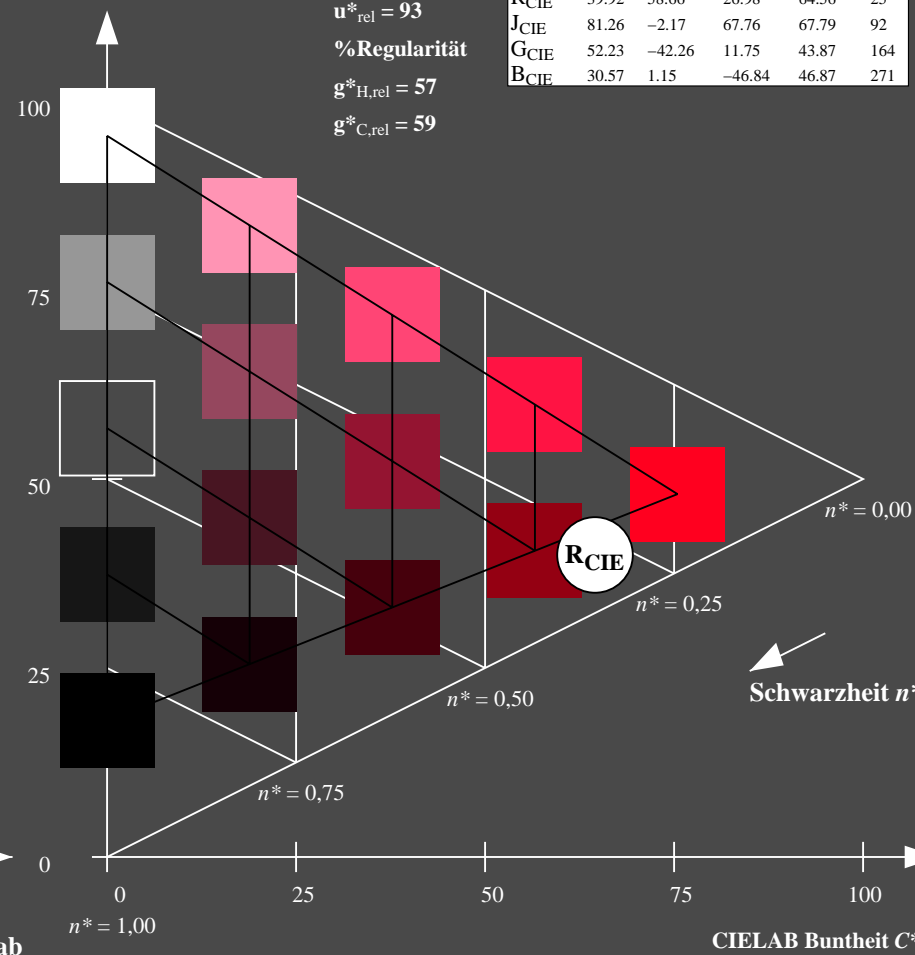
%Umfang

$u^*_{rel} = 93$

%Regularität

$g^*_{H,rel} = 57$

$g^*_{C,rel} = 59$



5 stufige Reihen für konstanten CIELAB Buntton 25/360 = 0.069 (rechts)

BAM-Prüfvorlage TG37; Farbmimetrische Systeme NRS11 & ORS18 input: olv\* setrgbcolor

D65: Koordinaten-Systeme von 5stufigen Farbreihen für 10 Buntton input: olv\* setrgbcolor / w\* setgray

### Eingabe: Farbmimetrisches Reflexions-System NRS11

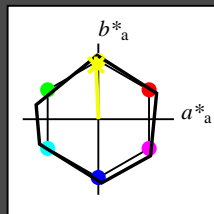
für Buntton  $h^* = lab \cdot h = 92/360 = 0.256$

LAB\*LCH, LAB\*NCH

D65: Buntton J

LCH\*Ma: 53 83 92

olv\*Ma: 0.98 1.0 0.0



#### NRS11; adaptierte CIELAB-Daten

	$L^*=L_a^*$	$a_a^*$	$b_a^*$	$C_{ab,a}^*$	$h_{ab,a}^*$
R <sub>Ma</sub>	53.2	77.06	34.32	84.36	24
J <sub>Ma</sub>	53.2	-1.51	84.38	84.39	91
G <sub>Ma</sub>	53.2	-82.27	18.98	84.44	167
G50B <sub>Ma</sub>	53.2	-77.72	-32.98	84.44	203
B <sub>Ma</sub>	53.2	4.37	-84.28	84.41	273
B50R <sub>Ma</sub>	53.2	69.09	-48.41	84.37	325
N <sub>Ma</sub>	10.99	0.0	0.0	0.0	0
W <sub>Ma</sub>	95.41	0.0	0.0	0.0	0
R <sub>CIE</sub>	39.92	58.69	27.98	65.01	25
J <sub>CIE</sub>	81.26	-2.9	71.56	71.62	92
G <sub>CIE</sub>	52.23	-42.45	13.59	44.59	162
B <sub>CIE</sub>	30.57	1.35	-46.48	46.51	272

CIELAB-Helligkeit  $L^*$

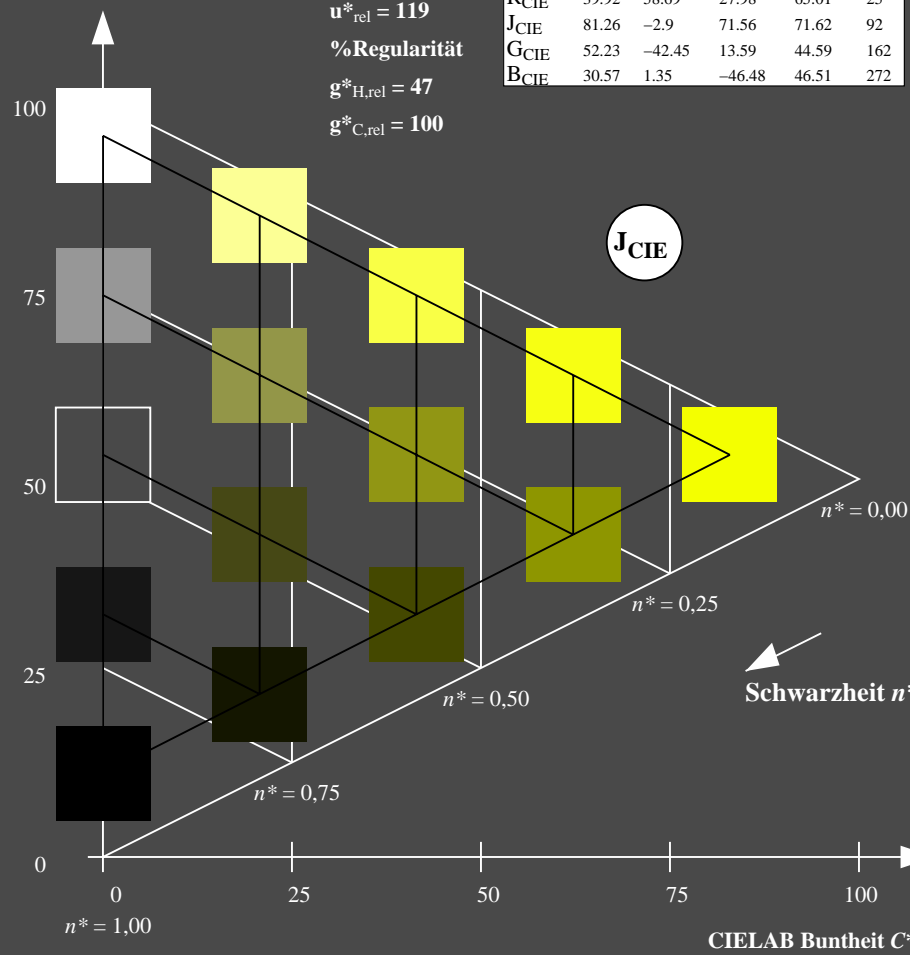
%Umfang

$u_{rel}^* = 119$

%Regularität

$g_{H,rel}^* = 47$

$g_{C,rel}^* = 100$



TG370-7, 5 stufige Reihen für konstanten CIELAB Buntton  $92/360 = 0.256$  (links)

### Ausgabe: Farbmimetrisches Reflexions-System ORS18

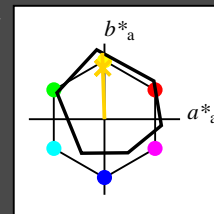
für Buntton  $h^* = lab \cdot h = 92/360 = 0.255$

LAB\*LCH, LAB\*NCH

D65: Buntton J

LCH\*Ma: 86 88 92

olv\*Ma: 1.0 0.9 0.0



#### ORS18; adaptierte CIELAB-Daten

	$L^*=L_a^*$	$a_a^*$	$b_a^*$	$C_{ab,a}^*$	$h_{ab,a}^*$
O <sub>Ma</sub>	47.94	65.37	50.52	82.62	38
Y <sub>Ma</sub>	90.37	-10.27	91.77	92.34	96
L <sub>Ma</sub>	50.9	-62.79	34.95	71.87	151
C <sub>Ma</sub>	58.62	-30.35	-45.01	54.3	236
V <sub>Ma</sub>	25.71	31.11	-44.42	54.24	305
M <sub>Ma</sub>	48.13	75.27	-8.35	75.73	354
N <sub>Ma</sub>	18.01	0.0	0.0	0.0	0
W <sub>Ma</sub>	95.41	0.0	0.0	0.0	0
R <sub>CIE</sub>	39.92	58.66	26.98	64.56	25
J <sub>CIE</sub>	81.26	-2.17	67.76	67.79	92
G <sub>CIE</sub>	52.23	-42.26	11.75	43.87	164
B <sub>CIE</sub>	30.57	1.15	-46.84	46.87	271

CIELAB-Helligkeit  $L^*$

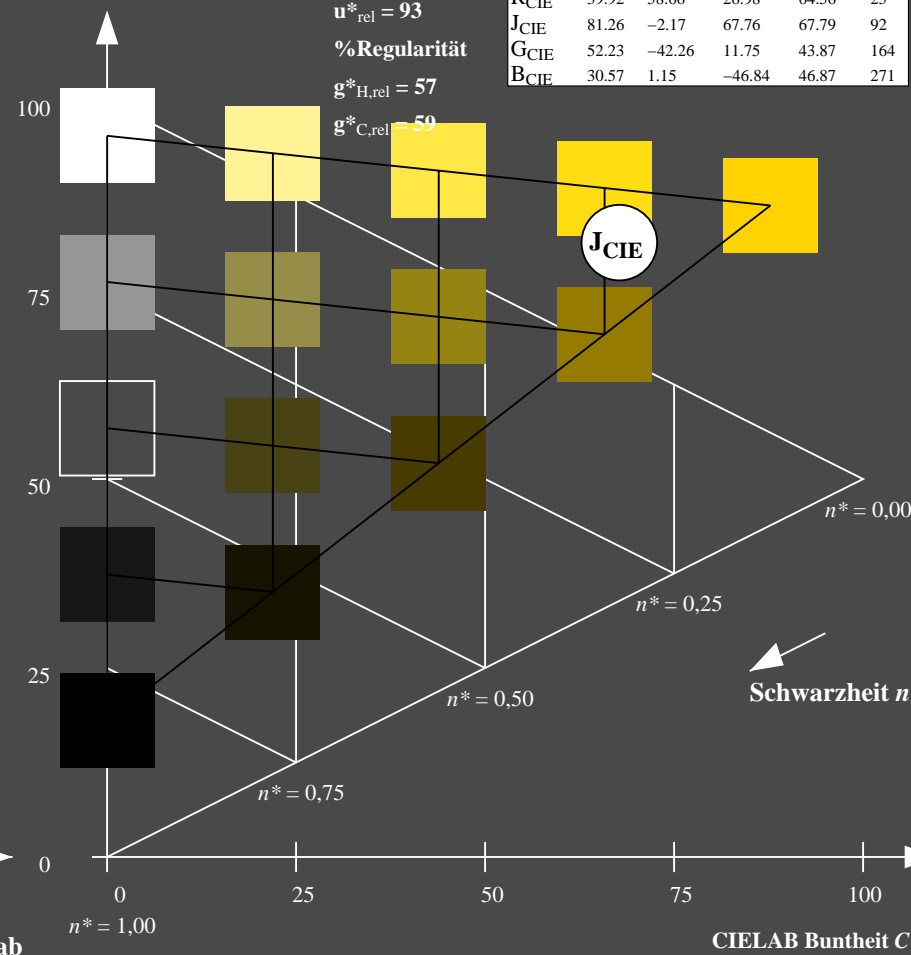
%Umfang

$u_{rel}^* = 93$

%Regularität

$g_{H,rel}^* = 57$

$g_{C,rel}^* = 59$



5 stufige Reihen für konstanten CIELAB Buntton  $92/360 = 0.255$  (rechts)

BAM-Prüfvorlage TG37; Farbmimetrische Systeme NRS11 & ORS18 input: olv\* setrgbcolor

D65: Koordinaten-Systeme von 5stufigen Farbreihen für 10 Bunttoninput: olv\* setrgbcolor / w\* setgray



### Eingabe: Farbmimetrisches Reflexions-System NRS11

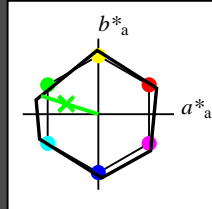
für Buntton  $h^* = lab^*h = 162/360 = 0.451$

LAB\*LCH, LAB\*NCH

D65: Buntton G

LCH\*Ma: 53 80 162

olv\*Ma: 0.08 1.0 0.0



#### NRS11; adaptierte CIELAB-Daten

	$L^*=L_a^*$	$a_a^*$	$b_a^*$	$C_{ab,a}^*$	$h_{ab,a}^*$
R <sub>Ma</sub>	53.2	77.06	34.32	84.36	24
J <sub>Ma</sub>	53.2	-1.51	84.38	84.39	91
G <sub>Ma</sub>	53.2	-82.27	18.98	84.44	167
G50B <sub>Ma</sub>	53.2	-77.72	-32.98	84.44	203
B <sub>Ma</sub>	53.2	4.37	-84.28	84.41	273
B50R <sub>Ma</sub>	53.2	69.09	-48.41	84.37	325
N <sub>Ma</sub>	10.99	0.0	0.0	0.0	0
W <sub>Ma</sub>	95.41	0.0	0.0	0.0	0
R <sub>CIE</sub>	39.92	58.69	27.98	65.01	25
J <sub>CIE</sub>	81.26	-2.9	71.56	71.62	92
G <sub>CIE</sub>	52.23	-42.45	13.59	44.59	162
B <sub>CIE</sub>	30.57	1.35	-46.48	46.51	272

CIELAB-Helligkeit  $L^*$

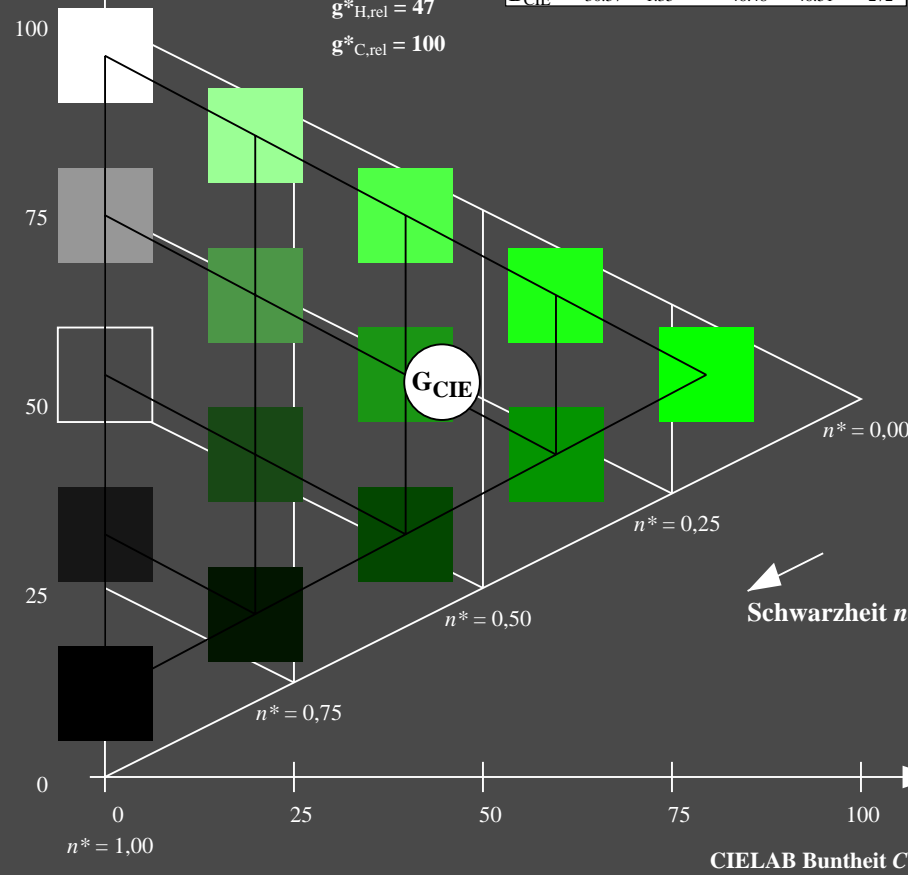
%Umfang

$u_{rel}^* = 119$

%Regularität

$g_{H,rel}^* = 47$

$g_{C,rel}^* = 100$



TG370-7, 5 stufige Reihen für konstanten CIELAB Buntton 162/360 = 0.451 (links)

### Ausgabe: Farbmimetrisches Reflexions-System ORS18

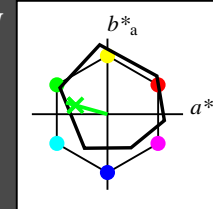
für Buntton  $h^* = lab^*h = 164/360 = 0.457$

LAB\*LCH, LAB\*NCH

D65: Buntton G

LCH\*Ma: 53 57 164

olv\*Ma: 0.0 1.0 0.25



#### ORS18; adaptierte CIELAB-Daten

	$L^*=L_a^*$	$a_a^*$	$b_a^*$	$C_{ab,a}^*$	$h_{ab,a}^*$
O <sub>Ma</sub>	47.94	65.37	50.52	82.62	38
Y <sub>Ma</sub>	90.37	-10.27	91.77	92.34	96
L <sub>Ma</sub>	50.9	-62.79	34.95	71.87	151
C <sub>Ma</sub>	58.62	-30.35	-45.01	54.3	236
V <sub>Ma</sub>	25.71	31.11	-44.42	54.24	305
M <sub>Ma</sub>	48.13	75.27	-8.35	75.73	354
N <sub>Ma</sub>	18.01	0.0	0.0	0.0	0
W <sub>Ma</sub>	95.41	0.0	0.0	0.0	0
R <sub>CIE</sub>	39.92	58.66	26.98	64.56	25
J <sub>CIE</sub>	81.26	-2.17	67.76	67.79	92
G <sub>CIE</sub>	52.23	-42.26	11.75	43.87	164
B <sub>CIE</sub>	30.57	1.15	-46.84	46.87	271

CIELAB-Helligkeit  $L^*$

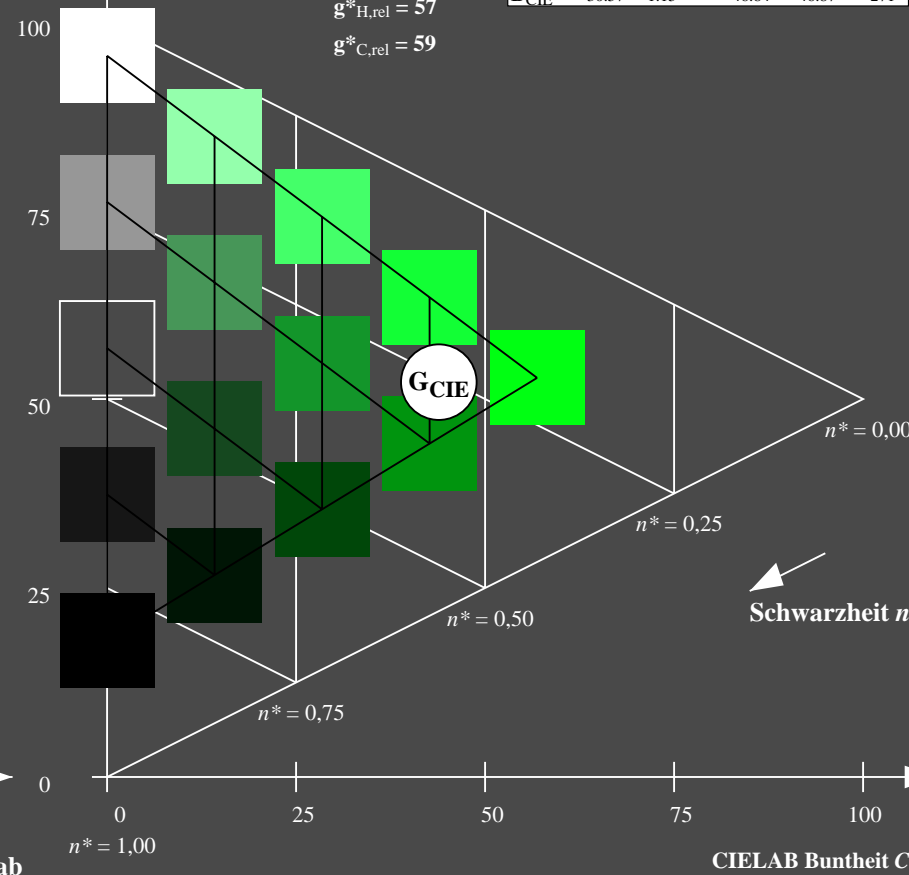
%Umfang

$u_{rel}^* = 93$

%Regularität

$g_{H,rel}^* = 57$

$g_{C,rel}^* = 59$



5 stufige Reihen für konstanten CIELAB Buntton 164/360 = 0.457 (rechts)

BAM-Prüfvorlage TG37; Farbmimetrische-Systeme NRS11 & ORS18 input: olv\* setrgbcolor

D65: Koordinaten-Systeme von 5stufigen Farbreihen für 10 Buntton input: olv\* setrgbcolor / w\* setgray

### Eingabe: Farbmimetrisches Reflexions-System NRS11

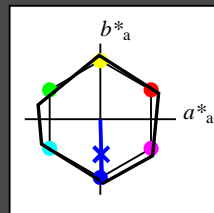
für Buntton  $h^* = lab^*h = 272/360 = 0.755$

LAB\*LCH, LAB\*NCH

D65: Buntton B

LCH\*Ma: 53 83 272

olv\*Ma: 0.0 0.02 1.0



#### NRS11; adaptierte CIELAB-Daten

	$L^*=L_a^*$	$a_a^*$	$b_a^*$	$C_{ab,a}^*$	$h_{ab,a}^*$
R <sub>Ma</sub>	53.2	77.06	34.32	84.36	24
J <sub>Ma</sub>	53.2	-1.51	84.38	84.39	91
G <sub>Ma</sub>	53.2	-82.27	18.98	84.44	167
G50B <sub>Ma</sub>	53.2	-77.72	-32.98	84.44	203
B <sub>Ma</sub>	53.2	4.37	-84.28	84.41	273
B50R <sub>Ma</sub>	53.2	69.09	-48.41	84.37	325
N <sub>Ma</sub>	10.99	0.0	0.0	0.0	0
W <sub>Ma</sub>	95.41	0.0	0.0	0.0	0
R <sub>CIE</sub>	39.92	58.69	27.98	65.01	25
J <sub>CIE</sub>	81.26	-2.9	71.56	71.62	92
G <sub>CIE</sub>	52.23	-42.45	13.59	44.59	162
B <sub>CIE</sub>	30.57	1.35	-46.48	46.51	272

CIELAB-Helligkeit  $L^*$

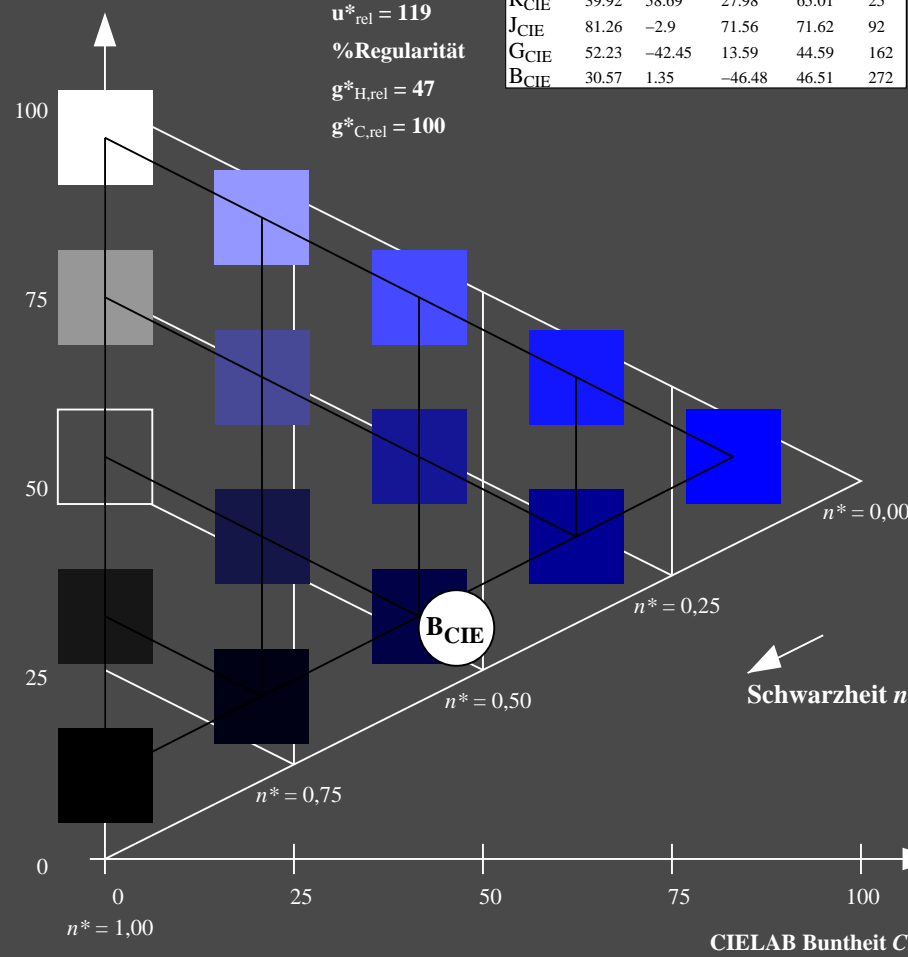
%Umfang

$u_{rel}^* = 119$

%Regularität

$g_{H,rel}^* = 47$

$g_{C,rel}^* = 100$



### Ausgabe: Farbmimetrisches Reflexions-System ORS18

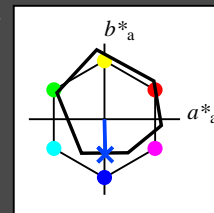
für Buntton  $h^* = lab^*h = 271/360 = 0.754$

LAB\*LCH, LAB\*NCH

D65: Buntton B

LCH\*Ma: 42 45 271

olv\*Ma: 0.0 0.49 1.0



#### ORS18; adaptierte CIELAB-Daten

	$L^*=L_a^*$	$a_a^*$	$b_a^*$	$C_{ab,a}^*$	$h_{ab,a}^*$
O <sub>Ma</sub>	47.94	65.37	50.52	82.62	38
Y <sub>Ma</sub>	90.37	-10.27	91.77	92.34	96
L <sub>Ma</sub>	50.9	-62.79	34.95	71.87	151
C <sub>Ma</sub>	58.62	-30.35	-45.01	54.3	236
V <sub>Ma</sub>	25.71	31.11	-44.42	54.24	305
M <sub>Ma</sub>	48.13	75.27	-8.35	75.73	354
N <sub>Ma</sub>	18.01	0.0	0.0	0.0	0
W <sub>Ma</sub>	95.41	0.0	0.0	0.0	0
R <sub>CIE</sub>	39.92	58.66	26.98	64.56	25
J <sub>CIE</sub>	81.26	-2.17	67.76	67.79	92
G <sub>CIE</sub>	52.23	-42.26	11.75	43.87	164
B <sub>CIE</sub>	30.57	1.15	-46.84	46.87	271

CIELAB-Helligkeit  $L^*$

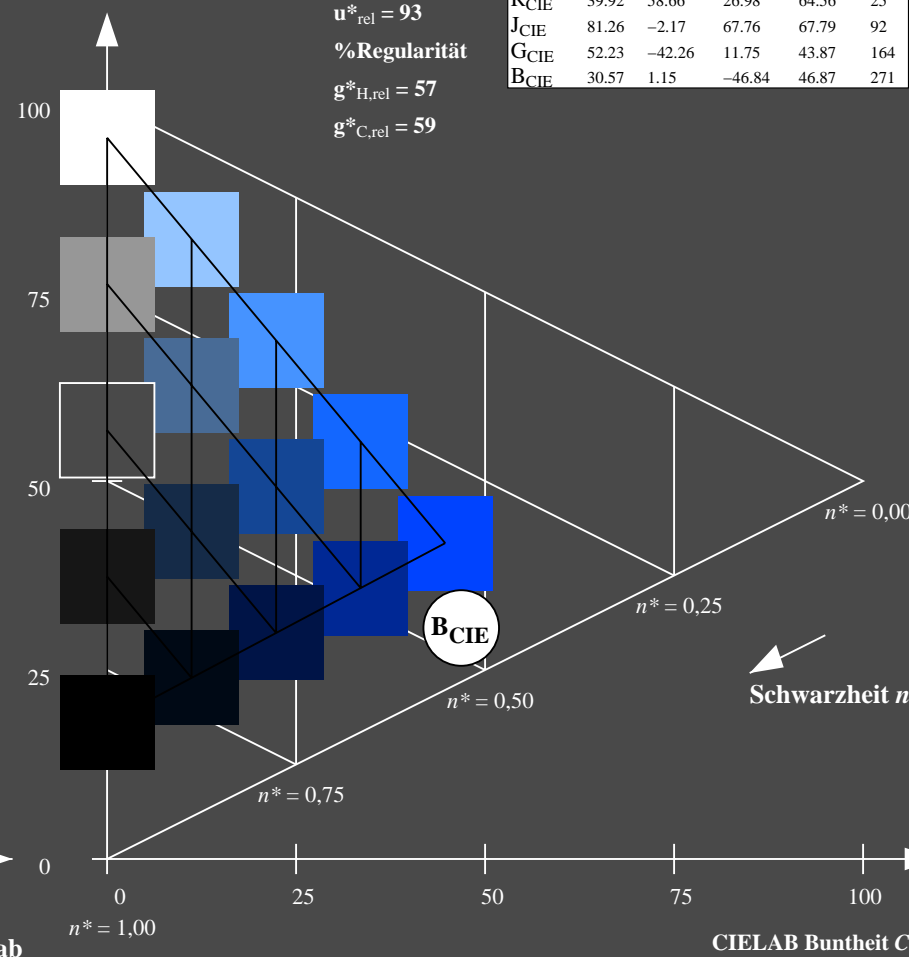
%Umfang

$u_{rel}^* = 93$

%Regularität

$g_{H,rel}^* = 57$

$g_{C,rel}^* = 59$



TG370-7, 5-stufige Reihen für konstanten CIELAB Buntton 272/360 = 0.755 (links)

5-stufige Reihen für konstanten CIELAB Buntton 271/360 = 0.754 (rechts)

BAM-Prüfvorlage TG37; Farbmimetrische Systeme NRS11 & ORS18 input: olv\* setrgbcolor

D65: Koordinaten-Systeme von 5-stufigen Farbreihen für 10 Buntton input: olv\* setrgbcolor / w\* setgray